



تحسين الصلاة ومقاومة الاحتكاك للفولاذ الصلب AISI H12 باستخدام الطلاء الصناعي (كريبيد التنجستن)

حمدى عبد الحميد حسن رقص

الهندسة الميكانيكية، كلية الهندسة، جامعة عمر المختار، ليبيا

Improvement of the hardness and abrasion resistance of AISI H12 steel using industrial coating (tungsten carbide)

Hamdi Abdulhamid Raghs

Mechanical engineering, Faculty of Engineering, Omar Al Mukhtar University, Libya

Email: hamdi.raghs@omu.edu.ly

تاريخ الاستلام: 2025/11/3 - تاريخ المراجعة: 2025/11/16 - تاريخ القبول: 2025/11/26 - تاريخ النشر: 2025/12/8

ملخص البحث

تم دراسة تأثير وفعالية الطلاء الصناعي ، طلاء كريبيد التنجستن على الأداء الترايبولوجي للفولاذ AISI H12 من خلال أجراء اختبارات التعرية ، وقمنا بإجراء تحليل لطلاء كريبيد التنجستن على أداء التعرية (wear) للفولاذ H12 بتقنية بصرية باستخدام مجهر المسح الإلكتروني (SEM) وصور طبوغرافية ثلاثة الأبعاد وكذلك تجربة معامل الاحتكاك . وفقاً للنتائج التي تم الحصول عليها من اختبارات التعرية ، قلل الفولاذ المطلي بكريبيد التنجستن معامل الاحتكاك بنسبة 23.2٪ مقارنة بالفولاذ غير المطلي. الهدف من هذه الدراسة هو زيادة مقاومة التعرية للفولاذ العمل الساخن H12 باستخدام طلاء كريبيد التنجستن.

الكلمات الدالة: المجهر الإلكتروني (SEM)، تحليل الأشعة السينية لتشتيت الطاقة (EDX)، الصلاة، المعهد الأمريكي للحديد والصلب (AISI)، معامل الاحتكاك، طلاء كريبيد التنجستن (WC)، فولاذ H12، وقد الأكسجين عالي السرعة (HVO).

Abstract:

In this research, the effect and effectiveness of industrial coating, tungsten carbide coating on the tribological performance of AISI H12 tool steel was studied through wear test. We performed an analysis of the tungsten carbide coating on the erosion performance of H12 steel using optical techniques such as scanning electron microscopy (SEM), three-dimensional topographic images, and a coefficient of friction experiment. According to the results obtained from the erosion tests, tungsten carbide-coated steel reduced the coefficient of friction by 23.2% compared to uncoated steel. The aim of this study is to increase the wear resistance of H12 hot work steel, by using tungsten carbide coating.

Keywords: Electron Microscope (SEM), Energy Dispersive X-ray analysis (EDX), American Iron and Steel Institute (AISI), Coefficient Of Friction , tungsten carbide coating, (WC) , H12 tool steel, High Velocity Oxygen Fuel (HVOF), hardness.

المقدمة

برز مجال هندسة الأسطح، نتيجةً لتزايد الخصائص للمواد المستخدمة في المجالات الهندسية والتقدم التكنولوجي، و وكذلك الحاجة إلى مواد هندسية جديدة طولية الأمد وعالية الأداء ومنخفضة التكلفة، في هندسة الأسطح، تُجرى دراسات حول تطوير وتركيب وإنتاج واستخدام الخصائص الفيزيائية أو الكيميائية للمادة. من الضروري طلاء فولاد العمل الساخن AISI H12 وحماية السطح بطبقات مناسبة للاستخدام في بيئه العمل، لأنها يتعرض لتأكل شديد وتشوه سطحي نتيجةً لظروف العمل. يستخدم الفولاذ في التطبيقات الصناعية عند درجات حرارة 400 درجة مئوية فأكثر. يتميز هذا الفولاذ بصلابة ومتانة عالية، ويحتوي على عناصر سبائك الكروم والمolibدينوم والفوسفور. يستخدم فولاد أدوات العمل الساخن H12 عموماً كمواد للبيق والضغط الساخن والقوية [1-5].

تحدث تشققات وتشوهات مجهرية وكبيرة على سطح المادة، لأنها يتعرض هذا الفولاذ لإجهادات مثل التعب، والزحف، والتشوه البلاستيكي، والقوى الحرارية، وذلك حسب درجة حرارة البيئة المستخدمة. وللحد من هذه التشوهات، تُستخدم طرق مختلفة لتصلب السطح. في التطبيقات الصناعية، تُستخدم طرق تصلب السطح مثل النيترة، والكرنينة، بالإضافة إلى عملية الطلاء [6-8].

1. المواد والطرق التقنية المستخدمة:

تم استخدام فولاد H12 في التجارب لأنه الأكثر استخداماً في الأعمال الساخنة، ويُظهر أداءً احتكاكياً متقدماً مقارنةً بأنواع الفولاذ الأخرى. وفي إطار الدراسة، سوف يتم زيادة مقاومة فولاد H12 للتعرية (wear) باستخدام الطلاء الصناعي قبل عملية الطلاء واختبارات التعرية، لطففت أسطح العينات باستخدام ورق صنفرة مرمق من 200 ، 400 ، 800 إلى 1000 لإزالة طبقة الأكسيد على السطح.

تم تحضير عينات الفولاذ بأبعاد 40 مم × 15 مم × 10 مم. ولتحسين الأداء الاحتكاكى للفولاذ ، طليت عينات فولاد H12 بمادة كربيد التنجستن. يستخدم كربيد التنجستن على نطاق واسع، خاصةً في التطبيقات الصناعية المعرضة للتأكل بالقص، إذ يزيد من صلابة المواد ومقاومتها للتأكل و التعرية.



طلاء كربيد التنجستن



شكل 1: عينات الفولاذ AISI H12

نظراً للخواص الميكانيكية والاحتياطية العالية لمادة كربيد التنجستن (WC)، تم اختيار كربيد التنجستن كمادة طلاء لتقليل التآكل والتشوهات الناتجة عن التآكل على سطح الفولاذ. واستُخدم الكوبالت (Co) كمادة رابطة لضمان التصاق كافٍ بين كربيد التنجستن وفولاذ H12. يتفاعل الكوبالت جيداً مع عناصر مجموعة الكربيدات، ويوفر قابلية عالية للبلل والذوبان على السطح.

جدول رقم (1): التركيب الكيميائي للفولاذ H12

C	Cr	Mo	V	Si	Mn	التركيب الكيميائي (%)
0.40	5.50	1.50	0.50	1.25	0.60	

تشكل طبقة طلاء عالية المتانة والصلابة مقاومة التآكل على السطح، بفضل الكوبالت المطيل المعزز بمادة كربيد التنجستن، مع زيادة كمية الكوبالت، تقل المسامية وتزداد قوة التماسك بين الطلاء والمادة الأساسية، كما أن نسبة تقوية المادة الرابطة مهمة لتحقيق الطلاء للأداء الاحتياطي المطلوب.

علاوة على ذلك، مع زيادة كمية الكوبالت، تزداد صلابتها، ولكن بعد معدل معين، تقل هذه الزيادة من مقاومة المادة للتعب الحراري، وهذا يعتمد على الصلابة والمتانة. وهذا يؤثر سلباً على الخواص الميكانيكية للمادة.

في هذا البحث، قمنا بتحليل الأداء الاحتياطي لطلاءات كربيد التنجستن (WC) المقواة بالكوبالت (Co) مع قياس الصلابة فقدان الكتلة التراكمي وقيم معامل الاحتياط وبحثنا في تأثير نسبة الكوبالت على الاحتياط ومقاومة التآكل والتعرية. كذلك تميز عمليات الطلاء باستخدام وقد الأكسجين عالي السرعة (HVOF) بانخفاض المسامية، والمتانة العالية، ومقاومة التآكل والتعرية، وكذلك إمكانية الحصول على طلاءات سيراميكية عالية الصلابة والمتانة ومقاومة التآكل بفضل الإجهاد الانضغاطي المتبقى الذي تحدثه. كما أن انخفاض تكاليفها وعدم وجود آثار بيئية سلبية يعززان استخدامها في التطبيقات الصناعية.

في هذه الدراسة، تم اختيار طريقة HVOF بسبب الأداء الاحتياطي والميكانيكي، والعوامل الاقتصادية والبيئية. تم قياس قيم الصلابة الدقيقة للعينات باستخدام جهاز قياس الصلابة (Vickers) كما في الشكل (2). والقيم المتحصل عليها موضحة في الجدول (2). تم حساب قيم الصلابة بأخذ المتوسط الحسابي بعد إجراء 6 قياسات.

جدول رقم (2): قيم صلابة العينات

نوع العينة	قيمة الصلابة (Vickers)
عينة نقية	$263 \pm 40 \text{ HV}$
عينة مطالية	$1078 \pm 110 \text{ HV}$



شكل 2: جهاز قياس الصلابة

تم استخدام جهاز قياس الاحتكاك (tribometer)، جهاز يقيس الكميات الفيزيائية المتعلقة بالاحتكاك بين الأجسام المتحركة، مثل مُعامل الاحتكاك، وقوة الاحتكاك، وحجم التآكل بين سطحين متلامسين أثناء الاحتكاك بينهما. بلغت درجة حرارة المحيط بالتجربة ودرجة حرارة الماء النقي المستخدم فيها حوالي 24°C درجة مئوية. وأظهرت القياسات التي أجريت خلال التجارب أن تغير درجة حرارة المحيط ودرجة حرارة الماء كان طفيفاً. أُجريت التجارب في بيئة مائية نقية لمحاكاة الظروف الجافة والجوية. حجم الماء النقي الذي أُجريت فيه التجارب كان 300 مل. كمادة كاشطة في نظام الاختبار استُخدمت كرة فولاذية Cr6100 بصلابة 50 HRC.



شكل 3: جهاز قياس الاحتكاك

تم استخدام طرق التصوير بالمجهر الإلكتروني الماسح (SEM - Scanning Electron Microscopes)، وتحليل العناصر بواسطة تحليل الأشعة السينية (EDX - Energy Dispersive X Ray Analysis) في تحليل EDX، استُخدمت الطريقة الخطية وطريقة رسم الخرائط، وقياس الصلابة الدقيقة لتوصيف العينات المطلية. واستُخدم مقياس (Dynamometer) لقياس مُعامل الاحتكاك، وصور طبوغرافية ثلاثية الأبعاد (Optical Profilometer) لتحليل السطح للفولاذ.



شكل 4: المجهر الإلكتروني الماسح (SEM)

3. نتائج التجارب المعملية والمناقشة:

تم تحليل النتائج على مرحلتين، التوصيف المعدني والتربينولوجي للعينات المطلية بـ WC-Co. في التوصيف المعدني، تم تحليل قياس الصلابة وصور المجهر الإلكتروني الماسح (SEM)، و XRD، و EDX (الخطية والرسم الخرائطي). في التوصيف التربينولوجي، حُللت قيم معامل الاحتكاك الناتجة عن اختبارات التعرية (wear test)، بالإضافة إلى ذلك، فُحصت مورفولوجيا السطح باستخدام صور المجهر الإلكتروني الماسح والتضاريس ثلاثية الأبعاد.

1.3. وصف طبقة طلاء كربيد التنجستن (WC):

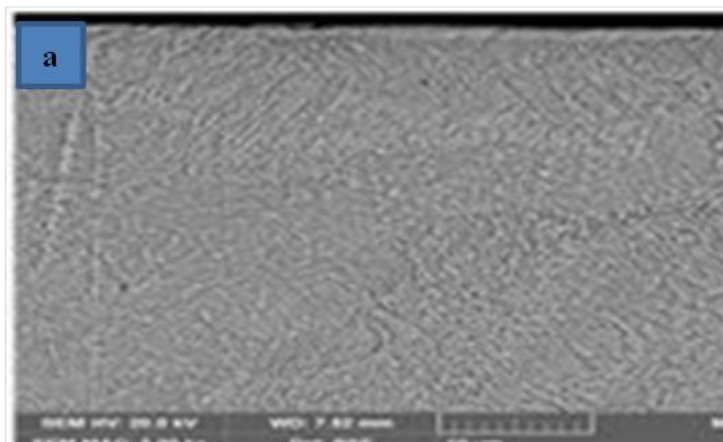
تجذب الطلاءات القائمة على الكربيد الانتباه في تطوير خصائص سطح المواد الهندسية. يمكن للمحاليل الصلبة الوسيطة، أن تزيد من الأداء الاحتكاكي للمواد المعرضة للتآكل بفضل صلابتها العالية [12,14].

بناءً على استقرار عملية الطلاء، يمكن الحصول على سمك طلاء متجانس. يُظهر الشكل 5 مقطعاً عرضياً للفولاذ المطلي بواسطة كربيد التنجستن (WC-Co). يوضح الشكل a.5 البنية الدقيقة للبيرلات (pearlite microstructure)، بينما يوضح الشكل b.5 مقطعاً عرضياً مطلياً بكربيد التنجستن بسمك 165.74 ميكرومتر. يلاحظ أن الطلاء يُشكل سطحاً متوجّماً بسبب سمكه العالي. وقد لوحظ في الدراسات العلمية وجود أشكال مماثلة على الأسطح المطلية بكربيد التنجستن [13,15].

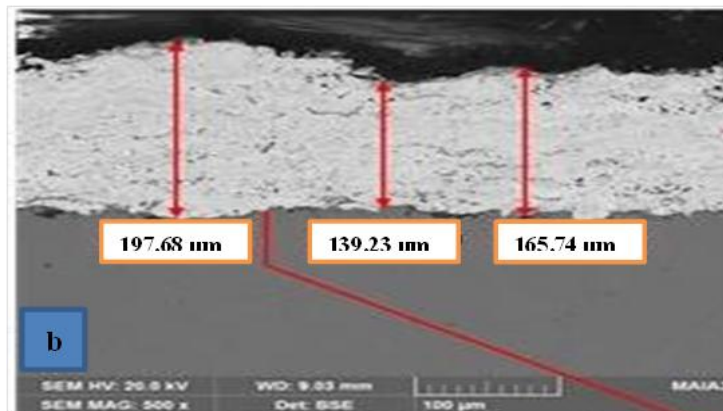
يمكن القول إن شكلاماً متوججاً يتَشكّل على السطح اعتماداً على معدل رش طريقة HVOF. وقد أدى معدل الرش العالي في طريقة HVOF إلى تمويج شكل السطح من خلال إحداث تأثير تشكيل كروي. ومع ذلك، لم يلاحظ تكوين بنية دقيقة للحببات في عمليات تشكيل الكرات في البنية الداخلية.

نظرًا لقصر مدة معالجة HVOF وتكون طبقة من كربيد التنجستن (WC) على السطح أثناء العملية، لم يحدث أي تغيير في البنية الدقيقة. ووفقاً لصورة المجهر الإلكتروني الماسح، فقد تبين وجود أقل قدر من الشقوق والفراغات وعيوب التمزق في طبقة الطلاء. وبالنظر إلى سمك طبقة الطلاء، يمكن القول إن العيوب الناتجة ضئيلة.

في الشكل b.5 ، تظهر جسيمات كربيد التنجستن (WC) موزعة بشكل متجانس في مصفوفة الكوبالت بنسبة 13 %. على الرغم من ميل جسيمات كربيد التنجستن (WC) للنكتل ، إلا أنه يتضح من صورة الخريطة الأولية أن توزيعها متجانس بفضل رابط الكوبالت.



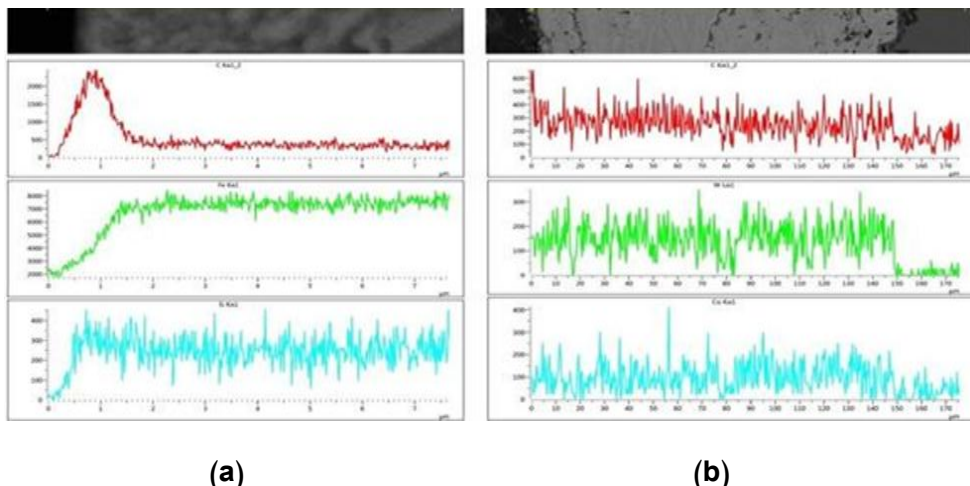
شكل 5(a): صورة المجهر الإلكتروني الماسح للمقطع العرضي لسطح العينة النقية



شكل 5(b): صورة المجهر الإلكتروني الماسح للمقطع العرضي لسطح العينة المطلية

يوضح الشكل (6) تحليلات EDX لجودة الطلاء. في الشكل a، يظهر سطح العينة المفتوحة على سطح طبقة الأكسيد. بعد عملية الطلاء، يتضح أن توزيع الكربون متجانس على سطح مادة الفولاذ H12. ويمكن القول إن طبقة الأكسيد تتشتت نسبياً للضغط ودرجة الحرارة أثناء عملية الطلاء، بالإضافة إلى تأثير الأض محلل.

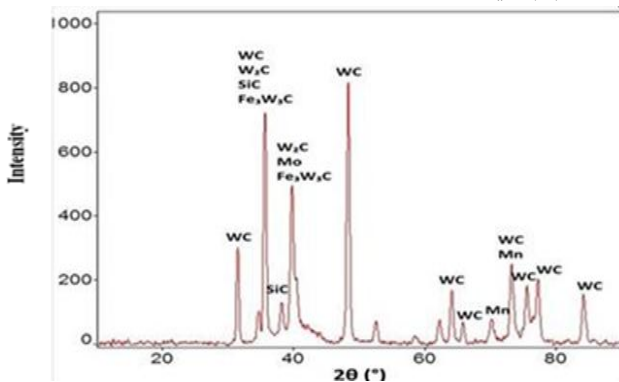
العناصر السائدة (Co,W,C) الظاهرة في الشكل 6.b موزعة بشكل متجانس على طول طبقة الطلاء. وبناءً على ذلك، يمكن القول إن جودة الطلاء الطيفية كافية.



b) تحليل EDX لسطح العينة المطلبة

شكل 6: a) تحليل EDX لسطح العينة النقية

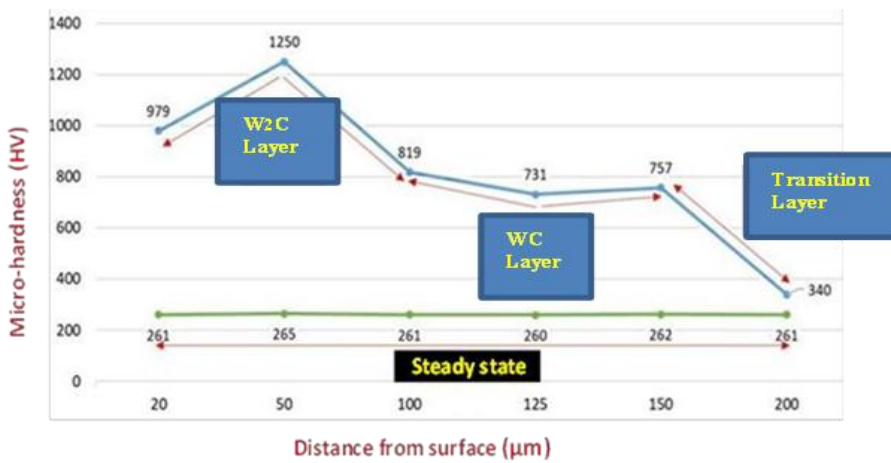
بالإضافة إلى تجانس عناصر الطلاء، فإن الرابطة المكونة مع المادة الأساسية مهمة أيضاً. يظهر ذلك في مخطط حيود الأشعة السينية (XRD) في الشكل (7)، حيث تتشكل سبيكة **Fe3W3C** نتيجةً لمحلول الحالة الصلبة المكون مع المادة الأساسية. ويمكن القول إن تكوين رابطة مستقرة يحدث بفضل بنية القفص البليوري المكعب للسبائك. ومن المتوقع تكوين قم **WC** و **W2C** الموضحة في الشكل (7) في السبائك المطلية بالتنغستن.



شكل 7: تحليل حيود الأشعة السينية

في الشكل (6)، لا يلاحظ أي تغير في اللون لـ **WC** و **W2C** مع ذلك، ووفقاً للرسم البياني الموضح في الشكل (8)، يُلاحظ وجود طبقة (**WC layer**) ذات صلابة تصل إلى حوالي 757 **HV** على سطح المادة، ثم طبقة (**W2C layer**) التي تصل صلابتها القصوى إلى 1250 **HV** بسبب الأكسدة. بينما لم يلاحظ أي تغير في الصلابة على طول طبقة **WC** ، إلا أن قيمة صلابة طبقة **W2C** ارتفعت أولاً ثم انخفضت. ويمكن القول إن التباين في طبقة الصلابة يحدث بسبب معدل الأكسدة ومعلمات **HVOF**.

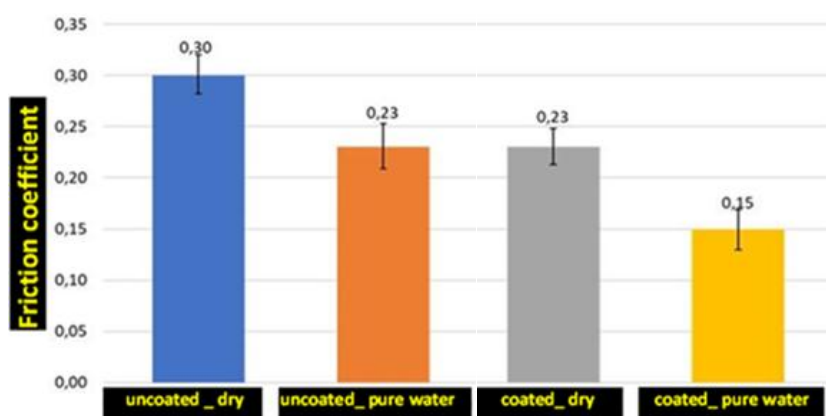
من الحالات الملحوظة الأخرى في مخطط الصلابة وجود منطقة الانتقال على مسافة حوالي 55 ميكرومتر، في هذه المنطقة انخفضت قيمة الصلابة بشكل متحكم فيه، تشكيل اتجاه خطى من HV757 إلى HV250 بفضل هذا الانخفاض، يقل تركيزات الإجهاد التي قد تحدث بسبب تغيرات الصلابة أثناء تدفق القوة في المادة وإطالة عمر طبقة الطلاء. يمكن تقييم هذا الاتجاه كحالة إيجابية من حيث قوة الطلاء.



شكل 8: رسم بياني للصلابة

2.3. الأداء الاحتاكي لطبقة كربيد التنجستن (WC):

لتحليل أداء الاحتاكي، فُحصت بيانات معامل الاحتاكي. ووفقاً للشكل(9)، انخفض معامل الاحتاكي لعينة الفولاذ H12 غير المطلية في بيئة الماء النقى (Uncoated – pure water) بنسبة 23% مقارنةً ببيئة الجافة (dry)، يمكن تفسير ذلك بتكوين طبقة غشاء من الماء النقى في منطقة الخشونة عند سطح التآكل والتعرية. انخفضت إجهادات الضغط والقص الناتجة عن الاحتاكي مع طبقة الغشاء، وانخفض معامل الاحتاكي. ومع ذلك، تُعدَّ القيم المُحصلة في البيئة المائية مهمةً لتحليل تأثير الطلاء. وقد تبين أن قيمة معامل الاحتاكي لعينة المطلية بكربيد التنجستن (coated – dry) تساوي قيمة معامل الاحتاكي لعينة غير المطلية في بيئة مائية نقية . يُظهر هذا أن زيادة صلابة الطلاء بمقدار HV 757 عالي تُحدث تأثير طبقة غشاء سائلة. ازدادت صلابة الطلاء من HV 260 إلى HV 1000 ، مما أدى إلى انخفاض معامل الاحتاكي بنسبة 23%. يشير انخفاض معامل الاحتاكي إلى فعالية طلاء كربيد التنجستن (WC) وإمكانية تطبيقه في تقليل احتاكي الفولاذ.



شكل 9: قيم معامل الاحتاكي

لا يمكن استخدام طلاء كربيد التنجستن (WC) في جميع التطبيقات الصناعية نظراً للمتطلبات التقنية والاقتصادية. ومع ذلك، يمكن تطبيق طلاء كربيد التنجستن على الاحتاكي الانزلاقي بدلاً من الاحتاكي المتدرج. في هذه المناطق، يُعدَّ تقليل معامل الاحتاكي

باستخدام طلاء كربيد التنغستن (WC) أمراً بالغ الأهمية لتقليل التشوّهات. يتميز طلاء كربيد التنغستن (WC) بنية سداسية متماسكة (hexagonal Close-Packed hcp)، بينما يتميز الفولاذ بنية شبكيّة بلوريّة مكعبية مرکزة الحجم (volume-centered cubic crystal lattice). يتشارع تكوين الروابط بين هيكل hmk و hcp، خاصةً تحت الضغط ودرجة الحرارة، أي في البيئات ذات الطاقة العالية للمادة. يمكن القول أنه نتيجة للاتصال المستمر بين الفولاذ H12 والطلاء والمعادن الأخرى، فإن قوة الرابطة بين الفولاذ ستزداد [16,18].

بسبب زيادة الضغط ودرجة الحرارة نتيجة الاحتكاك. يمكن أن يؤدي ارتفاع درجة الحرارة والضغط في مناطق طلاء كربيد التنغستن حيث يحدث احتكاك الانزلاق، بسبب زيادة قوة التصاق طلاء كربيد التنغستن (WC)، مما يعزز مقاومة التآكل والتعرية. بهذه الطريقة ستزداد أزمنة التآكل والتعرية الثانيي للمواد الهندسية. وبعد تقليل معامل الاحتكاك باستخدام طلاء كربيد التنغستن في المناطق التي يكون فيها تشوّه الفولاذ شديداً، وإطالة زمن التعرية الثانيي للطلاء بفضل الطاقة المدخلة أثناء الاحتكاك العالي أمراً بالغ الأهمية لزيادة العمر الافتراضي للفولاذ.

يظهر الشكل (10) صور المجهر الإلكتروني الماسح (SEM) لتحليل آليات التآكل والتعرية. يُظهر انخفاض عرض آثار التعرية للعينات المطلية وغير المطلية، عند مستوى مم في البيئة الجافة، إلى مستوى ميكرومتر في بيئة الماء النقى. بفضل طبقة الاحتكاك التي تشكّلها المياه انخفضت نقاط التلامس بين الكرة الكاشطة والمادة الفولاذية.

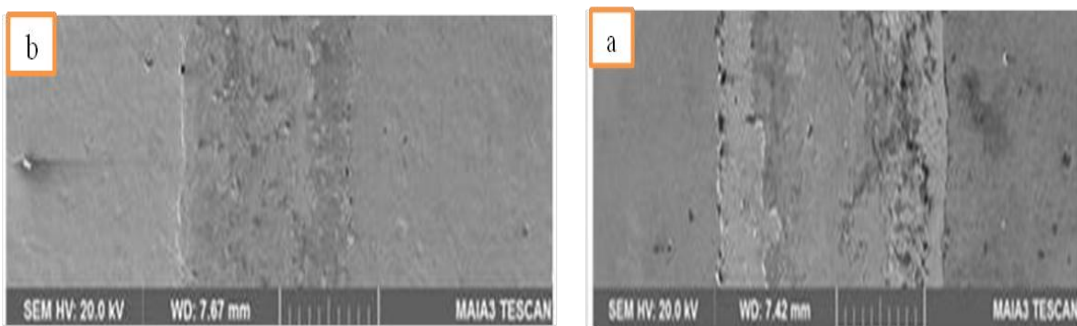
أدى انخفاض التلامس بين المواد إلى انفاص مساحة ندبة التعرية. في صورة المجهر الإلكتروني الماسح للعينة غير المطلية (uncoated dry) الموضحة في الشكل 10.a يلاحظ حدوث آلية تآكل كاشطة شديدة. بينما لوحظت ندبة احتكاك منتظمة في مركز الفولاذ المُصاب بالتأكل والتعرية، لوحظت تكوينات غير منتظمة في المناطق الهامشية منه. يمكن تفسير هذه التكوينات غير المنتظمة بتأثير الالتصاق وتأثير الحرث الناتج عن الجسيمات المنفصلة عن المنطقه المركزية.

يمكن القول إن أكثر من آلية تآكل فعالة في بيئة الاحتكاك الجاف، إلا أن التآكل يكون في الغالب كاشطاً نظراً لثبات حدود المادة. في الشكل 10.b Uncoated – water، يتضح أن آلية تآكل كاشط أكثر سطحية تتشكل بفعل تأثير الغشاء السائل مقارنةً ببيئة الجافة الشكل 10.a. في صور العينة المطلية بالكريون المقاوم للماء الموضحة في الشكلين (10.c.10.d) يلاحظ حدوث آليات تقشر على السطح. يُعد التآكل المتقدّر آلية شائعة في المواد الفولاذية نتيجةً للتعرّب.

تمدد الشقوق الشعرية التي تتشكل بتأثير القوى المماسية على سطح الفولاذ بفعل الحمل الدوري وهي فعالة في تكوين آلية التقشر. ومع ذلك يُلاحظ أن التقشر في الشكل 10.c (coated dry) أكثر سطحية.

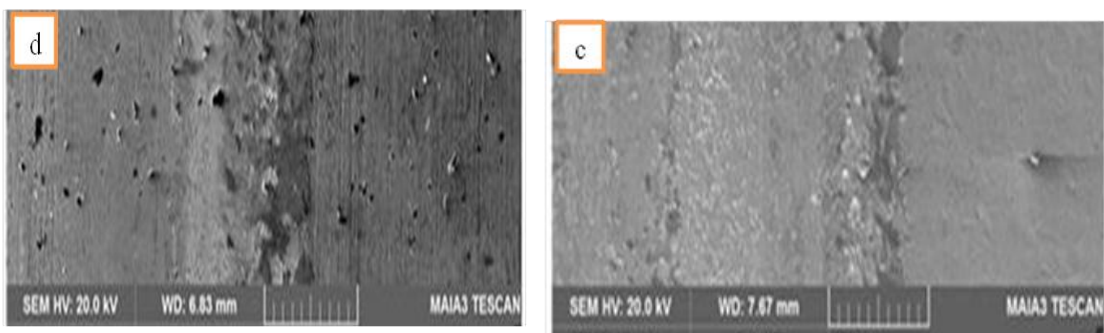
نظراً لأن زيادة الصلابة الناتجة عن طلاء كربيد التنغستن (WC) تقلل التشوّه البلاستيكي للمادة، وانخفاض معدل التقشر. وهذا يُظهر زيادة في عمر خدمة فولاذ H12 المُغطى بكربيد التنغستن (WC). ووفقاً للصورة الموضحة في الشكل 10.d (coated water)، يلاحظ ازدياد عيب التقشر في عينة الفولاذ المُغطى بكربيد التنغستن تحت الماء النقى.

على الرغم من أن عرض ندبة التآكل والتعرية قد انخفض بفعل تأثير السائل، إلا أن التقشر أصبح واضحاً نتيجة تكون طبقة غشاء شبه سائلة، ويمكن القول ستتشوه الأسطح المطلية بشكل أكبر في بيئة المياه بسبب طبقة رقيقة وشبه سائلة.



(b) فولاذ غير مطلي مع ماء

شكل 10 : (a) فولاذ غير مطلي وجاف



(d) فولاذ مطلي بكربيد التنجستن مع ماء

شكل 10 : (c) فولاذ مطلي بكربيد التنجستن وجاف

تظهر الصور الطبوغرافية المأخوذة من مناطق التعرية في الشكل(11). تُظهر قيم R_a متوسط الخشونة على طول مسار القياس و R_a متوسط الخشونة على مساحة القياس ،الموضحة في الشكل(11)، وتبين توافقاً مع معايير التحليل الأخرى. يشير الحصول على قيم R_a و Sa بقيم صغيرة عددياً (<0.40 ميكرومتر) إلى حدوث تشوّه بفعل آلية الكشط بين كرة الكشط ومادة الفولاذ **H12** في الشكل(11)، تمثل المناطق الحمراء نقاط الذروة، والمناطق الزرقاء نقاط القاع، بينما تمثل المناطق الصفراء والخضراء الحد الأدنى لخشونة السطح.

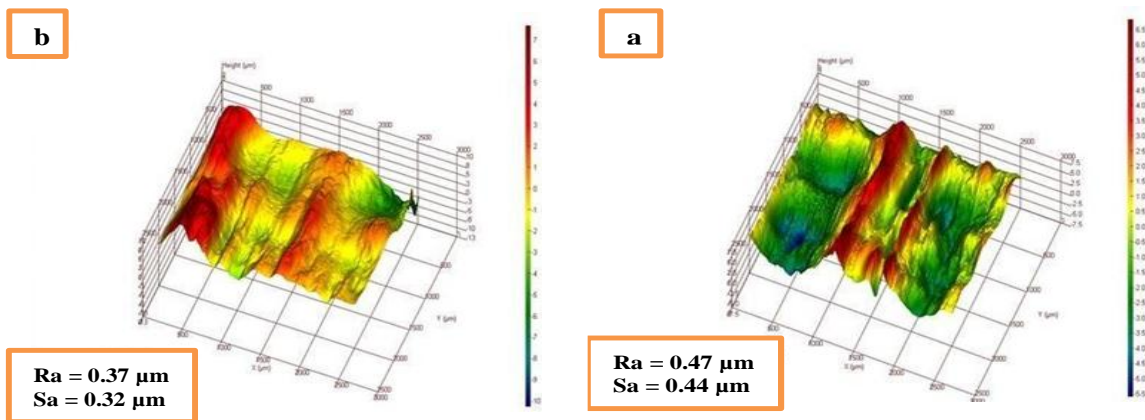
يوضح الشكل 11. a مورفولوجي أو "علم التشكل" أن

فولاذ **H12** يتعرض لتشوه شديد تحت تأثير احتكاك القص(**uncoated dry**). تؤكد المناطق الحمراء وجود آليات الالتصاق والحرث المزعومة وفقاً لصور المجهر الإلكتروني الماسح. ومرة أخرى تبرز صورة التعرية والتأكل الشديد التي حدتها صور، (**SEM**) في منتصف الشكل يُظهر شكل فولاذ **H12** غير المطلي تحت الماء النقى(**Uncoated water**). وجود آلية تأكل كاشطة بشكل مستوي (الشكل 11.b).

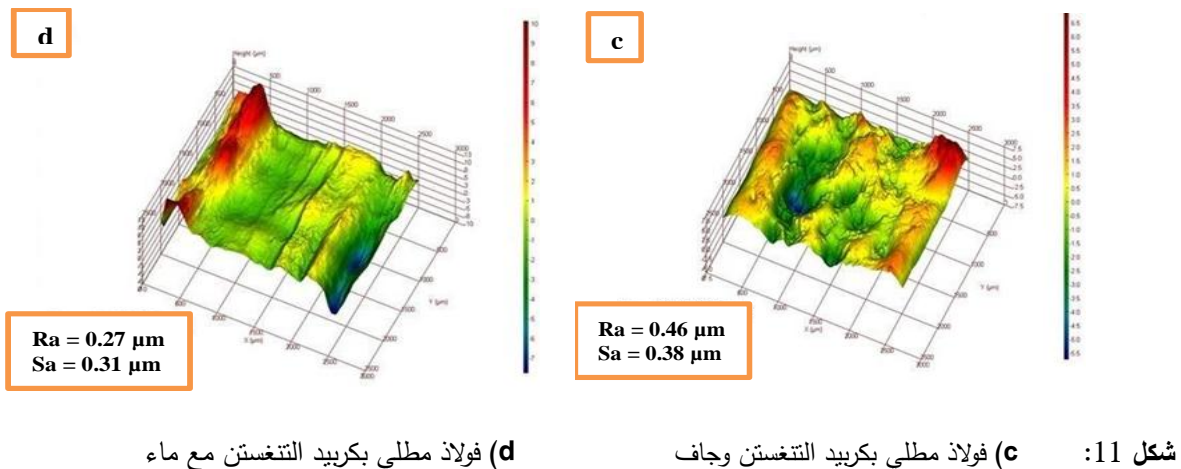
في الشكل 11.c، يلاحظ تشكيل سطح خشن نتيجةً لظروف التآكل الجاف (**coated dry**). ووفقاً لصور المجهر الإلكتروني الماسح، لم تظهر آليات التآكل المزعومة بوضوح في صور التصارييس ثلاثية الأبعاد.

ومع ذلك، يشير ندرة درجات اللونين الأحمر والأزرق إلى أن طلاء كربيد التنجستن (**WC**) يزيد من مقاومة التآكل والتعرية ويقلل من فقدان المواد. في الشكل 11.d، يلاحظ وجود تشوّه طفيف على سطح الفولاذ المطلي بكربيد التنجستن (**WC**) في ظروف الماء النقى.

(**coated- water**) بفضل صلابة الطلاء وطبقة الغشاء السائل يبدو السطح مستوىً بدرجات اللونين الأخضر والأصفر، ويعزى التآكل على السطح إلى عدم استمرارية طبقة الغشاء السائل. وقد تسببت مشكلة الالتصاق الناتجة عن الاحتكاك في مناطق الغشاء السائل وارتفاع درجة الحرارة في حدوث تقلبات لمستوى микرون على السطح.



شكل 11:



شكل 11:

4. الخاتمة و الخلاصة:

في هذه البحث، تم دراسة تأثير طلاء (WC-Co) على مقاومة تآكل فولاذ H12. وتم تحديد خصائص الطلاء من خلال تحليل صور المجهر الإلكتروني الماسح (SEM)، و XRD، و EDX، و قياسات الصلابة. ولتحليل نتائج اختبار التعرية للعينات المطلية وغير المطلية، تم فحص صور التضاريس ثلاثية الأبعاد. وفيما يلي النتائج التي تم الحصول عليها:

- عند فحص صور المجهر الإلكتروني الماسح (SEM) المأخوذة من أسطح الطلاء، تبين أن سمك الطلاء كان حوالي 616 ميكرومتر، وأن هناك فجوات وعيوب تشغقات ضئيلة على السطح. ووفقاً لصور EDX، خُدلت العناصر السائدة على أنها (Co, W, C)، وتم استنتاج أن العناصر موزعة بشكل متجانس وفقاً لصور رسم العناصر.

وفقاً لنتائج تحليل حيود الأشعة السينية (XRD) لتحديد سطح الطلاء وأطواره، تبين أن سبيكة Fe3W3C تشكلت نتيجة لمحلول الحالة الصلبة المتشكل مع مادة المصفوفة، وأن طوري WC و W2C كانوا شديدي الكثافة. ووفقاً لنتائج قياس الصلابة الدقيقة، تبين أن قيم الصلابة في المناطق التي تشكل فيها طورين WC و W2C كانت ~ 757 HV و ~ 1250 HV على التوالي.

وفقاً لنتائج معامل الاحتكاك التي أجريت في ظروف المياه النقية والجافة، تبين أن معامل الاحتكاك للعينة غير المطلية في بيئة المياه النقية (23%) كان أقل من البيئة الجافة (30%). ويرتبط هذا الوضع بانخفاض إجهادات الضغط والقص لطبقة الغشاء السائل. وقد تبين أن معامل الاحتكاك (0.023) للعينة غير المطلية في بيئة الماء النقى كان متساوياً مع معامل الاحتكاك (0.023) للعينة المطلية في البيئة الجافة. ويُفسر ذلك بأن الصلابة التي تزداد مع طبقة الطلاء تُعطي تأثير الماء النقى. كما لوحظ وجود فجوة كبيرة على أسطح العينات غير المطلية مقارنة بالعينات المطلية.

وفقاً لصور المجهر الإلكتروني الماسح التي تم الحصول عليها بعد اختبارات التعرية، فقد تم تحديد أن عرض ندبة التآكل والتعرية كان مم في الظروف الجافة وميكرومتر في ظروف المياه النقية. وقد لوحظ أن آلية التآكل الكاشطة الأكثر سطحية تحدث في ظروف المياه النقية مقارنة بالظروف الجافة.

وفقاً لصور التضاريس ثلاثية الأبعاد المأخوذة من أسطح التآكل والتعرية، تبين أن درجات اللونين الأحمر والأزرق كانت عالية بسبب خشونة عالية في العينات غير المطلية، بينما كانت درجات اللونين الأصفر والأخضر شديدة بسبب انخفاض التشوه في العينات المطلية. تتوافق نتائج صور التضاريس ثلاثية الأبعاد مع نتائج صور المجهر الإلكتروني الماسح.

المراجع:

- [1] J. W. Martin, “Concise Encyclopedia of the Mechanical Properties of Materials”, Elsevier Science & Technology, Oxford, United Kingdom (2010).
- [2] Bert Verlinden, Julian Driver, Indradev Samajdar, Roger D. Doherty, “Thermo-Mechanical Processing of Metallic Materials: Volume 11”, Elsevier Science & Technology, Oxford, United Kingdom (2009).
- [3] S. Maya-Johnson et al. Dry and lubricated Wear of rail steel under rolling contact fatigue - Wear mechanisms and crack growth, Wear (2017)
- [4] Ragh, Bilgehan Kondul, Muhammet Huseyin cetin. Investigation of wear behavior of boronized H13 steel under environment of nano-silver-added lubricants coated with different ligands (2020).
- [5] Bhaduri,, Amit, “Mechanical Properties and Working of Metals and Alloys”, Springer Nature Switzerland (2018).
- [6] Holmberg, K. and A. Matthews. “Tribology of Engineered Surfaces.” Wear: Materials, Mechanisms, and Practice. Ed. Gwidon W. Stachowiak. John Wiley and Sons, Ltd. Hoboken, NJ. p.123 (2009)
- [7] Wole Soboyejo, “Mechanical Properties of Engineered Materials”, CRC Press, United Kingdom (2019).
- [8] Joshua Pelleg, “Mechanical Properties of Materials”, Springer Science & Business Media, United Kingdom (2012).
- [9] D. Nikas et al. Mechanical properties and fatigue behaviour of railway wheel steels as influenced by mechanical and thermal loadings (2016).
- [10] Z.K. Fu et al. Investigation on microstructure and Wear characteristic of laser cladding Fe-based alloy on wheel/rail materials (2015).
- [11] Abdel Salam Makhlof, Mahmood Aliofkhazraei , “Handbook of Materials Failure Analysis with Case Studies from the Chemicals, Concrete and Power Industries”, 1st Edition, Elsevier Science & Technology (2015).
- [12] I.Saravanan, A.Devaraju, Ganesh babu, “Investigation of Surface Treatment process on stainless steel and its effects for tribological (2020).
- [13] L. Qiao et al. Wet abrasive Wear behavior of WC-based cermet coatings prepared by HVOF spraying (2021).

- [14] Q. Yang et al. Sliding wear behavior of WC-12% Co coatings at elevated temperatures (2006).
- [15] B. Somasundaram et al. Wear behavior of HVOF sprayed WC-Co/NiCrAlYSi (35–65%) and WC-Co/NiCrAlYSi (80–20%) coatings on turbine SS316 steel (2020).
- [16] Xue Han, Zhenpu Zhang, Jiayu Hou, "Tribological behavior of surface treatment/austempered AISI 5160 steel", *Tribology International*, (2020).
- [17] Cheng, X., Jiang, Z., Wei, D., Hao, L., Wu, H., Xia, W., Zhang, X., Luo, S., and Jiang, L., "Effects of surface preparation on tribological behaviour of a ferritic stainless steel in hot rolling", (2017).
- [18] Cetin, M. H. and Korkmaz, S., "Investigation of the concentration rate and aggregation behaviour of nano-silver added colloidal suspensions on wear behaviour of metallic materials by using ANOVA method", (2020).
- [19] Vashishtha, N., Khatirkar, R. K., and Sapate, S. G., "Tribological behaviour of HVOF sprayed WC-12Co, WC-10Co-4Cr and Cr₃C₂-25NiCr coatings", (2017).
- [20] Ian Hutchings, Philip Shipway, "Tribology: Friction and Wear of Engineering Materials", Spedizione Gratis & Amazon (2017).
- [21] O. Yazici et al. Investigation of effect of various processing temperatures on abrasive Wear behaviour of high power diode laser treated R260 grade rail steels *Tribol* (2018).
- [22] . Pan, Q. and Lu, L., "Improved Fatigue Resistance of Gradient Nanograin Metal Materials: Suppress Strain Localization and Damage Accumulation", (2020).
- [23] S. Maya-Johnson et al. Dry and lubricated Wear of rail steel under rolling contact fatigue - Wear mechanisms and crack growth (2017).
- [24] Ma, L., He, C. G., Zhao, X. J., Guo, J., Zhu, Y., Wang, W. J., Liu, Q. Y., and Jin, X. S., "Study on wear and rolling contact fatigue behaviors of wheel/rail materials under different slip ratio conditions", (2016).